



## بررسی ارتباط چندشکلی ژن MLH1 (rs63749795 C>T) با استعداد ابتلا به سرطان پستان در منطقه شمال غرب ایران

سعید ملک‌زاده (MSc)<sup>۱\*</sup>، سارا غفاریان (PhD)<sup>۱\*\*</sup>

<sup>۱</sup> گروه زیست‌شناسی، دانشکده علوم پایه، دانشگاه شهید مدنی آذربایجان، تبریز، ایران

(دریافت مقاله: ۱۴۰۲/۹/۸ - پذیرش مقاله: ۱۴۰۲/۱۰/۲۴)

### چکیده

زمینه سیستم ترمیم بعد از همانند سازی (MMR) سیستمی حفاظت شده با نقش کلیدی در پایداری ژنتیکی و صحت همانندسازی است. ژن MLH1 یکی از ۴ جز اصلی کمپلکس MMR است. این مطالعه با هدف بررسی همراهی چندشکلی (rs63749795 C>T) MLH1 با استعداد ابتلا به سرطان پستان در جمعیت زنان شمال غرب ایران انجام شد.

مواد و روش‌ها: این مطالعه مورد-شاهدی، بر روی ۱۰۰ زن مبتلا به سرطان و ۱۰۰ کنترل سالم بدون سابقه خانوادگی ابتلا به سرطان انجام شد. همراهی چندشکلی تک نوکلئوتیدی MLH1 (rs63749795 C>T) با تکنیک Tetra ARMS-PCR بررسی و نتایج حاصل با استفاده از نرم‌افزار SPSS ویرایش ۲۴ تجزیه شد. همراه چندشکلی تک نوکلئوتیدی با علائم بالینی بیماران بررسی شد.

یافته‌ها: ژنوتیپ CC در جمعیت بیمار و کنترل مشاهده نشد. فراوانی ژنوتیپ‌های TC و TT در بیماران به ترتیب ۴۰ و ۶۰ درصد و فراوانی آن‌ها در افراد سالم مورد مطالعه به ترتیب ۴۱/۸۴ و ۵۸/۱۶ درصد بود. فراوانی آلل‌های C و T در بیماران به ترتیب ۲۰ و ۸۰ درصد و در جمعیت کنترل به ترتیب ۲۰/۹۱ و ۷۹/۰۹ درصد بود. تجزیه‌های آماری نشان دهنده عدم همراهی توزیع ژنوتیپی و آللی با سرطان پستان بود. نتایج حاصل نشان دهنده عدم همراهی ویژگی‌های بالینی مورد مطالعه با سرطان پستان بود.

نتیجه‌گیری: یافته‌های این پژوهش نشان داد ارتباط معنی‌داری بین توزیع ژنوتیپی و آللی چندشکلی rs63749795 C>T ژن MLH1 با افزایش خطر ابتلا به سرطان پستان و همچنین ویژگی‌های بالینی مورد مطالعه بیماران در شمال غرب ایران وجود ندارد.

واژگان کلیدی: چندشکلی تک نوکلئوتیدی، سرطان پستان، ژن MLH1، Tetra ARMS-PCR

\*تبریز، گروه زیست‌شناسی، دانشکده علوم پایه، دانشگاه شهید مدنی آذربایجان، تبریز، ایران

## مقدمه

سرطان کولون غیرپولیپوزی وراثتی مورد مطالعه قرار گرفت (۷).

مسیر اصلی MMR با شناسایی جفت بازهای ناجور و حلقه‌های حذف و الحاقی (IDLs) در تکرارهای تک و چهار نوکلئوتیدی توسط هترودیمر تشکیل شده از پروتئین‌های MSH2 و MSH6 (MutS $\alpha$ ), آغاز می‌گردد (۸). در مسیر دیگر MMR، هترودايمرهاي متشکل از MSH2 و MSH3 (MutS $\beta$ ) مسئول اتصال به جهش‌های حذفی و درجی، ترجیحاً جهش‌های دی نوکلئوتیدی و IDLهای بزرگ‌تر و اصلاح آن‌ها هستند. به محض شناسایی جفت باز ناجور در DNA، فرآیند اصلاح با مشارکت هترودايمرهاي تشکیل شده از زیرواحدهای MLH1 و PMS2 (MutL $\alpha$ ) که به عنوان یک اندونوکلاز عمل می‌کنند آغاز می‌شود. متعاقب آن هضم DNA در رشته دارای برش جفت باز ناجور تحریک شده و هضم توسط اگزونوکلاز EXO1 صورت می‌گیرد (۸ و ۹). همچنین سیستم MMR در ارتباط با یک عملکرد ضد نوترکیبی می‌باشد که مانع از نوترکیبی هومولوگ شده و در پیام‌رسانی آسیب‌های DNA نقش دارد (۱۰).

جهش در هر یک از این اجزا و یا خاموشی اپی ژنتیکی این ژن‌ها، می‌تواند منجر به عدم تولید پروتئین MLH1 و یا فرم غیرفعال این پروتئین، عملکرد نامطلوب کمپلکس MMR، تجمع خطاهای به‌جامانده از ترمیم DNA حین همانندسازی و در نهایت ناپایداری ژنتیکی و افزایش احتمال ابتلا به سرطان شود. بر اساس گزارشات موجود حدود ۳۰ درصد از جهش‌های MLH1 از نوع missense هستند. علاوه بر جهش، عوامل دیگری از جمله متیله شدن پروموتور سبب مختل شدن عملکرد این ژن می‌شود. هنگامی که پروموتور MLH1 به‌طور کامل متیله شود، پروتئین آن بیانی نخواهد داشت (۱۱). همچنین این ژن در

سرطان سینه شایع‌ترین بدخیمی و عامل اصلی مرگ و میر ناشی از سرطان در بین زنان جهان است (۱). بر اساس پژوهش‌های انجام شده ۱۰-۵ درصد از سرطان‌های پستان وراثتی هستند (۲). ۳۰ درصد از سرطان‌های زنان جهان (۱) و حدوداً ۲۲ درصد از موارد سرطان‌های زنان در ایران را، سرطان پستان تشکیل می‌دهد. شایع‌ترین سرطان در میان زنان ایرانی است و سن ابتلا به این بیماری در ایران ۱۰ سال کمتر از سن ابتلا به آن در کشورهای غربی است (۳).

سیستم ترمیم بعد از همانند سازی (MMR) در تمامی موجودات پروکاریوت و یوکاریوت از جمله انسان سیستمی حفاظت شده است و نقشی کلیدی در پایداری ژنتیکی و صحت همانندسازی دارد (۴). این سیستم بر پایه تعویض جفت بازهای ناجور و حلقه‌های حذفی و الحاقی (IDLs) عمل می‌کند و مسئول ترمیم آن دسته از خطاهای همانندسازی است که طی فرآیند غلط‌گیری DNA پلیمراز ترمیم نشده باشند (۵). کمپلکس MMR از چهار جزء 1 (MLH1) homolog, mutL, 2 (MSH2) homolog, mutS, 6 (MSH6) و Postmeiotic segregation increased 2 (PMS2) تشکیل شده است. ژن MLH1 (mutL homologe 1) از ژن‌های خانواده MMR در موقعیت ۳p۲۲/۲ بر روی بازوی کوتاه کروموزوم شماره ۳، از جفت باز ۳۷۰۰۹۹۸۲ شروع و تا جفت باز ۳۷۰۶۷۳۴۰ ادامه دارد. نام رسمی این ژن هومولوگ mutl1 است و دارای ۱۹ اگزون می‌باشد. این ژن پروتئین mlh1 با ۷۵۶ آمینواسید را کد می‌کند و نقش اساسی در ترمیم DNA بازی می‌کند. تاکنون بیش از ۲۰۰ جهش در این ژن گزارش شده است (۶).

MLH1 برای اولین بار به‌عنوان ژن جهش‌یافته مرتبط با

غرب ایران بررسی و ارتباط آن با احتمال ابتلا به سرطان پستان و همچنین با ویژگی‌های پاتولوژیکی سرطان پستان در این جمعیت مورد مطالعه قرار گرفت.

## مواد و روش‌ها

### نمونه‌گیری و استخراج DNA

این پژوهش یک مطالعه موردی-شاهدی مبتنی بر مقایسه دو گروه بیمار و کنترل در جمعیت زنان رده سنی ۸۱-۲۵ سال شمال‌غرب ایران، بود. نمونه‌های مورد مطالعه شامل ۸۹ فرد مبتلا به سرطان پستان از بین مراجعه‌کنندگان به بیمارستان نور نجات تبریز و ۹۸ فرد سالم بدون سابقه فامیلی سرطان در اقوام درجه یک و دو آن‌ها به عنوان گروه کنترل بود. ابتدا از هر فرد ۴ سی‌سی خون وریدی گرفته شده و تا زمان استخراج DNA در لوله‌های خون‌گیری حاوی EDTA و در یخچال نگاه‌داری شدند. همچنین مشخصات بالینی بیماران از قبیل سن، اندازه تومور، درجه تومور، درگیری غدد لنفاوی، سمت درگیری (راست یا چپ) و نوع تومور و سن گروه شاهد با کسب اجازه از آن‌ها در قالب پرسش‌نامه جمع‌آوری شد.

در این پژوهش استخراج DNA از خون وریدی به روش نمک اشباع (Salting out) و با استفاده از پروتئیناز K انجام شد (۱۵). سپس کمیت و کیفیت نمونه‌های DNA استخراج شده به دو روش اسپکتروفتومتری و الکتروفورز ژل آگارز یک درصد مورد بررسی قرار گرفت. در نهایت DNAها با آب مقطر استریل رقیق شده و تا زمان مصرف در دمای ۲۰- درجه سانتی‌گراد نگاه‌داری شدند.

### تکنیک Tetra-ARMS-PCR

در این پژوهش از تکنیک Tetra-ARMS-PCR برای بررسی چندشکلی تک نوکلئوتیدی  $rs63749795C>T$  ژن **MLH1** استفاده شد (۱۶). تکنیک

پیام‌رسانی مربوط به آسیب DNA نیز نقش دارد (۱۲). چندشکلی تک نوکلئوتیدی (Single-Nucleotide Polymorphism: SNP)، چند شکلی در توالی DNA است که در اثر جهش تک نوکلئوتیدی در سطح ژنوم ایجاد می‌شود و بر اساس مطالعات انجام شده انواع چند شکلی تک نوکلئوتیدی، مثل چند شکلی‌های ناحیه تنظیمی و ناحیه کدکننده، احتمالاً منجر به جهش ژنی یا تغییر در ساختمان پروتئین می‌شود و ارتباط نزدیکی با سرطان دارد (۱۳). چندشکلی SNP به معنی تفاوت تک نوکلئوتیدی در جمعیت است، یک SNP الی که در یک منطقه جغرافیایی یا گروه نژادی مشترک است، ممکن است بین دیگر گونه‌ها وجود نداشته باشد. در طیف وسیعی از بدخیمی‌های خونی و توموری ارتباط قابل توجهی بین چندشکلی تک نوکلئوتیدی با سرطان‌های انسانی نشان داده است. شناسایی SNPهای مرتبط با مستعد بودن به سرطان باعث افزایش درک بیولوژیکی از تأثیر واریانت‌ها بر سرطان و کاربرد بالینی بیومارکرهای SNP می‌شود (۱۴). مطالعه این ژن‌ها می‌تواند به عنوان نشانگر احتمالی در تشخیص زودهنگام سرطان به کار رود. درک ویژگی‌های مولکولی سرطان اطلاعات تشخیصی و پیش‌آگهی را فراهم می‌کند که در غربالگری، تشخیص زود هنگام و پیش‌آگهی از استعداد ابتلا به سرطان، انتخاب روش درمان و پاسخ‌دهی به درمان اهمیت بالایی دارد.

SNPهای مختلفی از ژن **MLH1** در تحقیقات مختلف شناسایی و ارتباط یا عدم ارتباط آن‌ها با سرطان پستان تعیین شده است. با توجه به اینکه جستجوی داده پایگاه‌های مختلف به زبان فارسی و انگلیسی برای بررسی پلی‌مورفیسم این SNP و حتی این ژن، بر روی جمعیت آذری و حتی ایرانی نشان دهنده عدم وجود چنین مطالعه‌ای بود، در این پژوهش چندشکلی جایگاه  $rs63749795C>T$  ژن **MLH1** در جمعیت زنان شمال

PCR می‌باشد (۱۷). توالی آغازگرها بر مبنای مطالعه ملیک (Malik) و همکاران (۱۸)، طراحی و سنتز آنها توسط شرکت Metabion (Germany) انجام شد. توالی آغازگرهای مورد استفاده در جدول ۱ نشان داده شده است.

Tetra-ARMS PCR یک روش مبتنی بر PCR برای شناسایی چند شکلی‌های تک نوکلئوتیدی (SNP) در ژنوم و ابزاری قوی در تفکیک الل‌های دارای جهش و فاقد جهش، بر مبنای تکثیر یا عدم تکثیر یک توالی در واکنش

جدول ۱) توالی آغازگرها و اندازه قطعات تکثیری طی واکنش زنجیره‌ای پلیمرز

| پرایمر        | توالی                        | چندشکلی | طول محصول |
|---------------|------------------------------|---------|-----------|
| Outer Forward | AGAACAGACTGATCTTGTGGCCTTCTG  |         | ۳۹۲       |
| Outer Reverse | ATGACTGCTTTCTCCATTTCCAAAACCT |         |           |
| Inner Forward | GATGTGGAATGGTGAAGATGATTACC   | C       | ۲۳۹       |
| Inner Reverse | ATGACTGCTTTCTCCATTTCCAAAACCT | T       | ۲۰۴       |

مربع کای پیرسون، و در مواردی که تعداد داده‌های مشاهده شده کم‌تر از پنج بود. از آزمون دقیق فیشر در سطح اطمینان ۹۵ درصد استفاده شد و  $p < 0.05$  به‌عنوان سطح معنی‌دار در نظر گرفته شد. شدت ارتباط بین چند شکلی‌ها و خطر ابتلا به سرطان با استفاده از نسبت شانس با فاصله اطمینان ۹۵ درصد محاسبه شد. محاسبه آزمون‌های آماری اشاره شده برای ژنوتیپ‌ها و آلل‌ها با استفاده از از برنامه‌های `javastat online statistics` package (<http://statpages.org/ctab2x2.html>) انجام شد. برای بررسی ارتباط بین ژنوتیپ‌ها و مشخصات بالینی بیماران و همین‌طور شاخص میانگین از نرم‌افزار SPSS ویرایش ۲۴ استفاده شد. در تمامی آزمون‌ها،  $p < 0.05$  به‌عنوان سطح معنی‌دار در نظر گرفته شد. همچنین تغییرات ساختار فضایی ناشی از چندشکلی rs1972820 ژن ERBB4 توسط نرم‌افزار آنلاین RNAsnp مورد بررسی قرار گرفت.

واکنش Tetra-ARMS-PCR در حجم نهایی ۱۰ میکرولیتر با ترکیبات پرایمرهای رفت و برگشت بیرونی هر کدام به مقدار ۰/۵ میکرولیتر، پرایمرهای رفت و برگشت درونی هر کدام به مقدار ۰/۹ میکرولیتر، DNA الگو به مقدار ۱ میکرولیتر، Master mix (AMPLIQON) به مقدار ۵ میکرولیتر و آب به مقدار ۱/۲ میکرولیتر انجام شد. چرخه‌های حرارتی واکنش زنجیره‌ای شامل واسرشت سازی اولیه در دمای  $95^{\circ}\text{C}$  به مدت ۵ دقیقه، ۴۰ چرخه واسرشت سازی در  $95^{\circ}\text{C}$  به مدت ۴۵ ثانیه، اتصال آغازگرها در دمای  $58^{\circ}\text{C}$  به مدت ۶۰ ثانیه و بسط در دمای  $72^{\circ}\text{C}$  به مدت ۴۵ ثانیه و در نهایت یک چرخه بسط نهایی در  $72^{\circ}\text{C}$  به مدت ۱۰ دقیقه بود. در نهایت محصولات حاصل از واکنش PCR جهت شناسایی چندشکلی تک نوکلئوتیدی بر روی ژل آگارز ۲ درصد الکتروفورز شدند.

### تجزیه و تحلیل آماری

این پژوهش یک مطالعه مورد - شاهدی بوده و تجزیه و تحلیل آماری نتایج بین افراد بیمار و سالم به صورت مقایسه‌ای انجام شد. برای این منظور ارتباط بین فراوانی ژنوتیپ‌ها و آلل‌ها بین دو گروه شاهد و بیمار از آزمون

### ملاحظات اخلاقی

تمامی اطلاعات لازم از پرونده‌های بالینی بیماران استخراج و فرم رضایت انجام طرح تحقیقاتی توسط بیماران تکمیل گردیده بود. هیچ نوع مداخله اضافی از طرف محققین بر



۹۵ درصد (CI=۰/۹۴۵ و OR=۰/۹۲۷). همچنین تعداد آلل T در گروه بیمار ۱۶۰ (با فراوانی ۸۰ درصد) و در گروه کنترل ۱۵۵ (با فراوانی ۷۹/۰۹ درصد) بود که بر این اساس اختلاف فراوانی آللی بین این دو گروه معنی دار نبود (OR=۱/۰۵۸ و CI=۰/۸۲۱، p-value=۰/۸۲۱). ارتباط معنی داری بین توزیع فراوانی آللی در گروه بیمار و کنترل مشاهده نشد (جدول ۲).

CT و (OR=۰/۹۲۷، p-value=۰/۷۹۳، CI=۰/۸۲۱) و ۹۵ درصد CI=۰/۷۹۳ بین دو گروه بیمار و کنترل معنی دار نبود.

**توزیع فراوانی آلل‌ها بین دو گروه بیمار و سالم**  
بر اساس نتایج حاصل از مطالعه آلل‌های C و T، تعداد آلل C در گروه بیمار ۴۰ (با فراوانی ۲۰ درصد) و در گروه کنترل ۴۱ (با فراوانی ۲۰/۹۱ درصد) بود که اختلاف آن بین دو گروه بیمار و کنترل معنی دار نبود (p-value=۰/۸۲۱).

| ژنوتیپ/آلل | بیمار | درصد فراوانی | کنترل | درصد فراوانی | p-value | OR(CI=۹۵٪)          |
|------------|-------|--------------|-------|--------------|---------|---------------------|
| CT         | ۴۰    | ۴۱/۸۴        | ۴۱    | ۴۰           | ۰/۷۹۳   | ۰/۹۲۷ (۰/۱-۵۲۶/۶۳۳) |
| TT         | ۶۰    | ۵۸/۱۶        | ۵۷    | ۶۰           | ۰/۷۹۳   | ۱/۰۷۹ (۱/۰-۹۰۲/۶۱۲) |
| C          | ۴۰    | ۲۰/۹۱        | ۴۱    | ۲۰           | ۰/۸۲۱   | ۰/۹۴۵ (۱/۰-۵۴۰/۵۸۰) |
| T          | ۱۶۰   | ۷۹/۰۹        | ۱۵۵   | ۸۰           | ۰/۸۲۱   | ۱/۰۵۸ (۱/۰-۷۲۴/۶۴۹) |

(p-value=۰/۳۹۵)، درجه تومور (p-value=۰/۶۸۶)، سن (p-value=۰/۱۲۵)، سمت درگیر (p-value=۰/۳۷۱) و درگیری غدد لنفی (p-value=۰/۷۴۶) مشاهده نشد (جدول ۳).

**توزیع فراوانی ژنوتیپ‌ها و علائم بالینی**  
بر اساس تجزیه‌های انجام شده بر روی ارتباط چندشکلی rs63749795 ژن MLH1 با علائم بالینی بیماران، ارتباط معنی داری بین توزیع فراوانی ژنوتیپی این SNP و علائم بالینی مورد مطالعه شامل نوع تومور

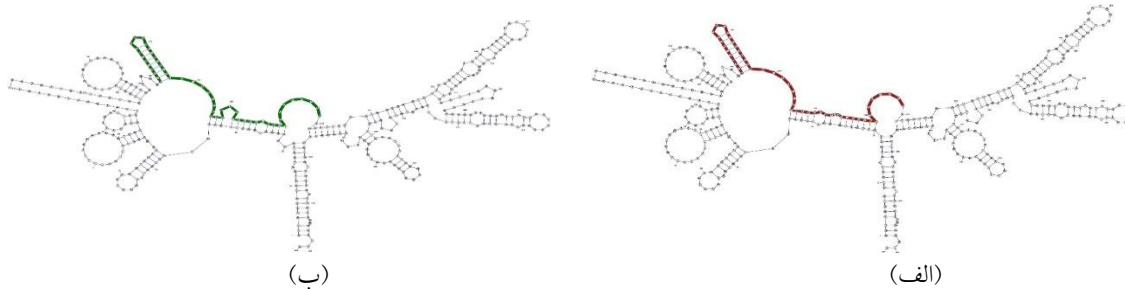
| ویژگی        | انواع            | تعداد (درصد) | ژنوتیپ |    | p-value |
|--------------|------------------|--------------|--------|----|---------|
|              |                  |              | CT     | TT |         |
| سن           | $\geq 45$        | ۳۹           | ۲۰     | ۱۹ | ۰/۱۲۵   |
|              | $< 45$           | ۴۶           | ۱۶     | ۳۰ |         |
|              | نامعلوم          | ۱۵           |        |    |         |
| سمت درگیر    | راست             | ۴۵           | ۱۷     | ۲۸ | ۰/۳۷۱   |
|              | چپ               | ۳۶           | ۱۶     | ۲۰ |         |
|              | هر دو سمت        | ۴            | ۳      | ۱  |         |
| نوع تومور    | Comodo           | ۱            | ۱      | ۰  | ۰/۳۹۵   |
|              | Fibroadenoma     | ۹            | ۵      | ۴  |         |
|              | Fibrocystic      | ۶            | ۴      | ۲  |         |
|              | IDC              | ۵۴           | ۲۲     | ۳۲ |         |
|              | ILC              | ۵            | ۱      | ۴  |         |
|              | Phyllodes        | ۱            | ۰      | ۱  |         |
| نامعلوم      | ۲۲               |              |        |    |         |
| درجه تومور   | I                | ۴۳           | ۱۴     | ۱۹ | ۰/۶۸۶   |
|              | II               | ۲۴           | ۱۰     | ۱۴ |         |
|              | III              | ۲            | ۰      | ۲  |         |
| اندازه تومور | T <sub>1</sub> * | ۳۵           | ۱۱     | ۲۴ | ۰/۰۶۵   |
|              | T <sub>2</sub>   | ۴۱           | ۲۲     | ۱۹ |         |
|              | نامعلوم          | ۲۴           |        |    |         |
| درگیری لنف   | N <sub>0</sub> * | ۴۰           | ۱۳     | ۲۷ | ۰/۷۴۶   |
|              | N <sub>1</sub>   | ۱۷           | ۸      | ۹  |         |
|              | N <sub>2</sub>   | ۱۱           | ۴      | ۷  |         |
|              | N <sub>3</sub>   | ۱            | ۰      | ۱  |         |
|              | نامعلوم          | ۳۱           |        |    |         |

\* T<sub>1</sub> ≤ 2.5cm, T<sub>2</sub> > 2.5cm, \*\* N<sub>0</sub>: 0, N<sub>1</sub>: 1-3cm, N<sub>2</sub>: 4-9cm, N<sub>3</sub> ≥ 10cm

## تغییرات ساختار فضایی

تغییرات ساختار فضایی ناشی از چندشکلی *MLH1* rs63749795C>T توسط نرم‌افزار آنالیز RNA-snp در شکل ۳ نشان داده شده است. بر این اساس تغییر ساختار فضایی ناشی از چندشکلی

*MLH1* rs63749795C>T منجر به کاهش  $\Delta G$  آلل جهش یافته ( $\Delta G = -75/1$  کیلوکالری بر مول) نسبت به آلل طبیعی ( $\Delta G = -76/9$  کیلوکالری بر مول) با  $p=0/6575$  شد که غیر معنی‌دار بود ( $p\text{-value} > 0/2$ ).



شکل ۳) تغییرات ساختار فضایی ناشی از چندشکلی *MLH1* rs63749795C>T ژن (الف) آلل طبیعی، (ب) آلل جهش یافته.  
Fig 3) RNA secondary structure changes caused by *MLH1* gene (SNP: rs63749795C>T) polymorphism (A. Wild allele, B. Mutant allele)

## بحث

در تمامی موجودات زنده از جمله انسان، سیستم ترمیم بعد از همانند سازی (MMR) سیستمی حفاظت شده با نقش کلیدی در پایداری ژنتیکی و صحت همانندسازی است (۴). کمپلکس MMR از چهار جزء اصلی تشکیل شده است و *MLH1* (*mutL homolog 1*) یکی از این ۴ جز است. وقوع جهشی در موقعیت ۱۴۶ ژن *MLH1*، که باعث جایگزینی سیتوزین با یوراسیل در این موقعیت می‌شود، منجر به تبدیل کدون CAA به کدون UAA و در نهایت ایجاد یک کدون پایان نابجا می‌شود. در نتیجه پروتئین از این موقعیت کوتاه شده و ساختار جهش یافته تنها یک دومین ATPase خواهد داشت. پروتئین‌های در حال تعامل با پروتئین *MLH1* یعنی، *PMS1/MLH3/PMS2*، برای فعالیت به پایانه C نیاز

دارند و در نتیجه این جهش، این پروتئین‌ها قابلیت برهمکنش با پایانه C را از دست می‌دهند. این امر باعث کاهش فعالیت مؤثر مسیر تعمیر عدم تطابق (MMR) می‌شود. این جهش موجب کاهش یا حذف کامل پروتئین *MLH1* و در نتیجه از بین رفتن فعالیت پروتئین MMR می‌شود. پروتئین MMR از فاکتورهای حیاتی در جلوگیری از سرطان پستان است (۱۹).

ارتباط چندشکلی‌های تک نوکلئوتیدی با ریسک ابتلا به سرطان‌های مختلف به دفعات مورد مطالعه قرار گرفته است (۲۰). ملیک و همکاران با مطالعه روی ۳۸۷ زن کنترل سالم و ۴۹۳ زن مبتلا به سرطان پستان از کشور پاکستان، وجود ارتباط معنی‌دار بین ژنوتیپ T/C جایگاه rs63749795 ژن *MLH1* و افزایش خطر ابتلا به سرطان پستان گزارش کردند. در این پژوهش فراوانی افراد واجد ژنوتیپ CC ۷۳/۷۷ درصد و مجموع

فراوانی افراد دارای الل جهش یافته شامل ژنوتیپ‌های CT و TT ۲۶/۲۲ درصد بود. در این مطالعه همچنین رابطه بین جایگاه چندشکل تک نوکلئوتیدی rs63749820C/T ژن MLH1 با خطر ابتلا به سرطان پستان معنی‌دار گزارش شد (۱۸).

بر اساس نتایج حاصل از پژوهش حاضر ژنوتیپ هموزیگوت CC در جمعیت زنان شمال غرب ایران مشاهده نشد. همچنین فراوانی افراد واجد الل جهش یافته شامل ژنوتیپ‌های TT و CT بسیار نزدیک و اختلاف فراوانی آن‌ها غیرمعنی‌دار بود. بر این اساس، ارتباط معنی‌داری بین توزیع فراوانی ژنوتیپ‌ها و آلل‌ها در جایگاه چند شکل rs63749795 ژن MLH1 و احتمال ابتلا به سرطان پستان در زنان شمال غرب ایران مشاهده نشد. همچنین بر اساس نتایج حاصل از این پژوهش ارتباط معنی‌داری بین چند شکلی جایگاه تک نوکلئوتیدی rs63749795 ژن MLH1 و هیچ یک از علائم بالینی مورد مطالعه شامل نوع تومور، درجه تومور، سن ابتلا، سمت درگیر، اندازه تومور و درگیری غدد لنفی مشاهده نشد.

مک‌کالو (McCullough) و همکاران، چندشکلی پنج SNP از سه ژن مسیر ترمیم عدم تطابق شامل MSH3 (rs1650663)، MSH2 (rs4583514، rs3732182، rs2303428)، MLH1 (rs2286940) و یک SNP عملکردی (rs1799977) MLH1 را بر روی ۱۰۵۳ زن مبتلا به سرطان پستان و ۱۱۰۲ زن کنترل از نیویورک مطالعه کردند. در این پژوهش نیز هیچ ارتباطی بین SNP‌های مورد مطالعه و خطر ابتلا به سرطان پستان مشاهده نشد. در این مطالعه هیچ مدرکی مبنی بر اثر اصلی هیچ یک از SNP‌ها روی خطر ابتلا به سرطان پستان یافت نشد. همچنین نتایج این مطالعه، با وضعیت یائستگی ارتباطی نشان نداد (۲۱). نتایج این

پژوهش هم راستا با پژوهش حاضر بود. مطالعه ملیک و همکاران بر روی این SNP در جمعیت کشور پاکستان ارتباط معنی‌داری بین چندشکلی جایگاه تک نوکلئوتیدی rs63749795 ژن MLH1 با سابقه خانوادگی و شروع زودرس یائستگی نشان داد. کلیک و همکاران نیز عدم وجود رابطه معنی‌دار بین سن و چندشکلی جایگاه تک نوکلئوتیدی rs63749795 ژن MLH1 را گزارش نمودند (۱۸). عدم همراهی نتایج این دو پژوهش می‌تواند در ارتباط با تفاوت اندازه و زمینه ژنتیکی دو جمعیت باشد که می‌تواند حاصل عواملی مثل اختلاف در منطقه جغرافیایی و نوع تغذیه باشد (۲۰). مطالعه‌ای بر روی ۸۰ نفر بیمار مبتلا به سرطان پستان از پاکستان به عنوان بیمار و بافت سالم مجاور تومور آن‌ها به عنوان شاهد، نشان دهنده عدم همراهی سه SNP rs1799977، rs2286940 و rs1800734 ژن MLH1 با ریسک ابتلا به سرطان پستان بود (۲۲).

در پژوهشی دیگر ملیک و همکاران، با مطالعه همراهی بیان ژن MLH1 با استفاده روش‌های ایمنوهِستوشیمیایی ارتباط معنی‌داری بین کاهش بیان این ژن با سرطان پستان گزارش کردند. بر اساس نتایج حاصل از این مطالعه کمبود MLH1 می‌تواند به پیشرفت سرطان پستان منجر شود که با شیمی درمانی در ارتباط است. بین ترمیم MMR با سن، درجه تومور، تشکیل گره لنفی و یائستگی ارتباط معنی‌دار گزارش شد (۷).

بر اساس مطالعات انجام شده به دلیل هایپرمتیلاسیون MLH1 و خاموشی آن، در سرطان‌های CRC (۱۵ درصد) و EC (۳۰ درصد) عدم پایداری میکروستلایت‌ها مشاهده می‌شود. چندشکلی rs1800734 پروموتور ژن MLH1 با ریسک CRC همراهی داشته، متیلاسیون آن را افزایش داد. در

نمونه‌های EC هیچ مدرکی مبنی بر ارتباط SNPهای MLH1 با ریسک EC مشاهده نشد و این SNP متیلاسیون و بیان این ژن را تغییر نداد (۲۳).

در یک مطالعه متاآنالیز بر روی ارتباط دو چندشکلی عملکردی ژن MLH1 شامل  $93G>A$  و I219V با انواع سرطان‌ها، در مجموع داده‌های ۳۳ مقاله مورد-شاهدی منتشر شده جمع‌آوری و مورد تجزیه و تحلیل قرار گرفت. بر این اساس در تمام مدل‌های ژنتیکی ال A از چندشکلی  $93G>A$  با افزایش ریسک ابتلا به سرطان خصوصاً در جمعیت‌های غیرآسیایی همراهی معنی‌داری نشان داد. در مورد چندشکلی I219V در هیچ مدل ژنتیکی اثر مهمی بر روی سرطان مشاهده نشد. در این پژوهش SNP  $93G>A$  به عنوان یک بیومارکر برای سرطان معرفی شد (۲۴). وانگ (Wang) و همکاران، در مطالعه‌ای دیگر همراهی چندشکلی‌های ژن MLH1 را با خطر CRC، رایج‌ترین سرطان کولورکتال مورد بررسی قرار دادند. در این مطالعه که بر روی داده‌های حاصل از ۸ مقاله انجام شد. خطر تجمعی سرطان CRC بر اساس سن و جنس در حاملان جهش هتروزیگوت تخمین و نشان داده شد ریسک ابتلا به این سرطان در ۷۰ سالگی برای حاملان ال جهش یافته مرد و زن به ترتیب  $۴۳/۹$  و  $۳۷/۳$  درصد بود (۲۵).

با توجه به اینکه این اولین گزارش از ارتباط چندشکلی rs63749820 ژن MLH1 با احتمال ابتلا به سرطان پستان در شمال غرب ایران است و پژوهش‌های دیگر در آسیا نیز عدم همراهی این ژن را با سرطان پستان گزارش نموده‌اند، این نتایج می‌تواند نشان‌دهنده عدم همراهی چندشکلی مورد مطالعه با سرطان پستان در زنان این منطقه باشد.

نرم‌افزار RNAsnp تغییرات ساختاری RNA القا شده توسط یک SNP را بطور مؤثر شناسایی و بر نواحی

حاوی حداکثر تغییرات ساختاری بین نوع طبیعی و جهش یافته RNA تمرکز دارد (۲۶). این نرم‌افزار آنالیز ضمن تعیین معنی‌داری، تغییر ساختار دوم RNA در نتیجه چندشکلی را به صورت شماتیک نشان می‌دهد. بر اساس این نتایج نیز چندشکلی مورد مطالعه تأثیر معنی‌داری بر ساختار RNA نداشت.

### نتیجه‌گیری

ژنوتیپ هموزیگوت CC در هیچ کدام از دو گروه بیمار و کنترل مشاهده نشد. هیچ کدام از دو ژنوتیپ دیگر TT و CT جایگاه چند شکل rs63749820 ژن MLH1 ارتباط معنی‌داری با سرطان پستان در جمعیت مورد بررسی نداشتند. همچنین توزیع آل‌ها هم همراهی معنی‌داری با سرطان پستان نشان نداد. توزیع ژنوتیپی rs63749820 ژن MLH1 با علائم بالینی افراد بیمار از قبیل سن، اندازه تومور، درجه تومور، درگیری غدد لنفاوی، سمت درگیری (راست یا چپ) و نوع تومور همراهی مؤثری نداشتند. با توجه به اینکه این اولین گزارش از ارتباط چندشکلی rs63749820 ژن MLH1 با احتمال ابتلا به سرطان پستان در شمال غرب ایران است می‌تواند نشان‌دهنده عدم همراهی این چندشکلی با سرطان پستان در زنان این منطقه باشد. هرچند به منظور اطمینان بیشتر بررسی ارتباط این چندشکلی با احتمال ابتلا به سرطان پستان در جامعه آماری بزرگ‌تری از افراد بیمار و سالم و مطالعه بیان افتراقی آن در افراد بیمار و کنترل، قابل توصیه است.

### سپاس و قدردانی

پژوهش فوق حاصل پایان‌نامه کارشناسی ارشد رشته زیست‌شناسی با گرایش سلولی- مولکولی مصوب شورای تحصیلات تکمیلی دانشگاه شهید مدنی

## تضاد منافع

هیچ‌گونه تعارض منافع توسط نویسندگان بیان نشده است.

آذربایجان است. این مطالعه در آزمایشگاه زیست شناسی سلولی - مولکولی گروه زیست دانشگاه شهید مدنی آذربایجان و با بودجه اختصاص یافته معاونت پژوهش به پایان‌نامه دانشجوی انجام یافته است.

## References:

1. Wang J, Zhang S, Zhang Z, et al. A single-nucleotide polymorphism involved in alternative splicing of PTEN is associated with chemotherapy resistance in breast cancer in Chinese population. *Res square* 2021; 1-22. doi: [10.21203/rs.3.rs-360619/v1](https://doi.org/10.21203/rs.3.rs-360619/v1).
2. Lee A, Mavaddat N, Wilcox AN, et al. BOADICEA: a comprehensive breast cancer risk prediction model incorporating genetic and nongenetic risk factors. *Genet Med* 2019; 21(8): 1708-1718. doi: [10.1038/s41436-018-0406-9](https://doi.org/10.1038/s41436-018-0406-9).
3. Afrasiabifar A, Hamzhiakia SH, Hosseini NA. The effect of self-care program using orem's self-care model on the life quality of women with breast cancer undergoing chemotherapy: a randomized controlled trial. *J Armgh Dane* 2018; 23(1): 1-13. (Persian)  
URL: <http://armaghani.yums.ac.ir/article-1-2090-en.html>.
4. Couch FJ, Rasmussen LJ, Hofstra R, et al. Assessment of functional effects of unclassified genetic variants. *Hum Mutat* 2008; 29(11): 1314-1326. doi: [10.1002/humu.20899](https://doi.org/10.1002/humu.20899).
5. Li GM. Mechanisms and functions of DNA mismatch repair. *Cell Res* 2008; 18(1): 85-98. doi: [10.1038/cr.2007.115](https://doi.org/10.1038/cr.2007.115).
6. Tarancón-Diez M, Büttner R, Friedrichs N. Enhanced Tumoral *MLH1*-Expression in *MLH1*/*PMS2*-Deficient Colon Cancer Is Indicative of Sporadic Colon Cancer and Not HNPCC. *Pathol Oncol Res* 2020; 26(3): 1435-1439. doi: [10.1007/s12253-018-00571-3](https://doi.org/10.1007/s12253-018-00571-3).
7. Malik SS, Masood N, Asif M, et al. Expressional analysis of *MLH1* and *MSH2* in breast cancer. *Curr prob cancer* 2019; 43(2): 97-105. doi: [10.1016/j.currprobcancer.2018.08.001](https://doi.org/10.1016/j.currprobcancer.2018.08.001).
8. Hsieh P, Yamane K. DNA mismatch repair: molecular mechanism, cancer, and ageing. *Mech Ageing Dev* 2008; 129(7-8): 391-407. doi: [10.1016/j.mad.2008.02.012](https://doi.org/10.1016/j.mad.2008.02.012).
9. Jiricny J. The multifaceted mismatch-repair system. *Nat Rev Mol Cell Biol* 2006; 7(5): 335-346. doi: [10.1038/nrm1907](https://doi.org/10.1038/nrm1907).
10. Smith TR, Levine EA, Freimanis RI, et al. Polygenic model of DNA repair genetic polymorphisms in human breast cancer risk. *Carcinogenesis* 2008; 29(11): 2132-2138. doi: [10.1093/carcin/bgn193](https://doi.org/10.1093/carcin/bgn193).
11. Busbait S, Al-Babtain A, Tawfeeq Y, et al. Turcot's syndrome presenting as an acute abdomen. *J Pediatr Surg Case Rep* 2019; 40: 17-9. <https://doi.org/10.1016/j.epsc.2018.10.003>.
12. Claeys Bouuaert C, Keeney S. Distinct DNA-binding surfaces in the ATPase and linker domains of MutL $\gamma$  determine its substrate specificities and exert separable functions in meiotic recombination and mismatch repair. *PLoS genet* 2017; 13(5): e1006722. doi: [10.1371/journal.pgen.1006722](https://doi.org/10.1371/journal.pgen.1006722).
13. Yuan P, Liu D, Deng M, et al. Identification of differently expressed genes with specific SNP loci for breast cancer by the integration of SNP and gene expression profiling analyses. *Pathol Oncol Res* 2015; 21(2): 469-75. doi: [10.1007/s12253-014-9851-1](https://doi.org/10.1007/s12253-014-9851-1).
14. Stracquadanio G, Wang X, Wallace MD, et al. The importance of p53 pathway genetics in inherited and somatic cancer genomes. *Nat rev Cancer* 2016; 16(4): 251-265. doi: [10.1038/nrc.2016.15](https://doi.org/10.1038/nrc.2016.15).
15. Suguna S, Nandal DH, Kamble S, et al. Genomic DNA isolation from human whole blood samples by non enzymatic salting out method. *Int J Pharm Sci* 2014; 6(6): 198-199.

- [https://www.researchgate.net/publication/289617992\\_Genomic\\_DNA\\_isolation\\_from\\_human\\_whole\\_blood\\_samples\\_by\\_non\\_enzymatic\\_salting\\_out\\_method](https://www.researchgate.net/publication/289617992_Genomic_DNA_isolation_from_human_whole_blood_samples_by_non_enzymatic_salting_out_method).
16. Newton CR, Graham A, Heptinstall LE, et al. Analysis of any point mutation in DNA. The amplification refractory mutation system (ARMS). *Nucleic Acids Res* 1989; 17(7): 2503-2516. doi: [10.1093/nar/17.7.2503](https://doi.org/10.1093/nar/17.7.2503).
17. Little S. Amplification-refractory mutation system (ARMS) analysis of point mutations. *Curr Protoc Hum Genet* 1995; 9: 1-12. <https://doi.org/10.1002/0471142905.hg0908s07>.
18. Malik SS, Zia A, Mubarik S, et al. Correlation of MLH1 polymorphisms, survival statistics, in silico assessment and gene downregulation with clinical outcomes among breast cancer cases. *Mol Biol Rep* 2020; 47(1): 683-692. doi: [10.1007/s11033-019-05175-x](https://doi.org/10.1007/s11033-019-05175-x).
19. Sun L, Cheng B, Zhou Y, et al. ErbB4 Mutation that Decreased NRG1-ErbB4 Signaling Involved in the Pathogenesis of Amyotrophic Lateral Sclerosis/Frontotemporal Dementia. *J Alzheimer's Dis* 2020; 74(2): 535-544. doi: [10.3233/JAD-191230](https://doi.org/10.3233/JAD-191230).
20. Ebadi Z, Ghaffarian S. Association of WDR79 (rs2287497C>T) Poly-morphism with Breast Cancer Susceptibility in Northwest of Iran. *Iran South Med J* 2023; 26(1): 1-13. (Persian) URL: <http://ismj.bpums.ac.ir/article-1-1771-en.html>.
21. McCullough LE, Santella RM, Cleveland RJ, et al. Polymorphisms in DNA repair genes, recreational physical activity and breast cancer risk. *Int J Cancer* 2014; 134(3): 654-663. doi: [10.1002/ijc.28383](https://doi.org/10.1002/ijc.28383).
22. Kappil M, Terry MB, Delgado-Cruzata L, et al. Mismatch Repair Polymorphisms as Markers of Breast Cancer Prevalence in the Breast Cancer Family Registry. *Anticancer Res* 2017; 36(9): 4437-4441. doi: [10.21873/anticancer.10987](https://doi.org/10.21873/anticancer.10987).
23. Russell H, Kedzierska K, Buchanan DD, et al. The MLH1 polymorphism rs1800734 and risk of endometrial cancer with microsatellite instability. *Clin Epigenetics* 2020; 12(1): 102. doi: [10.1186/s13148-020-00889-3](https://doi.org/10.1186/s13148-020-00889-3).
24. Xu JL, Yin ZQ, Huang MD, et al. MLH1 Polymorphisms and Cancer risk: a Meta-analysis Based on 33 Case-control Studies. *Asian Pac J Cancer Prev* 2012; 13(3): 901-907. doi: [10.7314/apjcp.2012.13.3.901](https://doi.org/10.7314/apjcp.2012.13.3.901).
25. Wang C, Wang Y, Hughes KS, et al. Penetrance of Colorectal Cancer Among Mismatch Repair Gene Mutation Carriers: A Meta-Analysis. *JNCI Cancer Spectr* 2020; 4(5): pkaa027. doi: [10.1093/jncics/pkaa027](https://doi.org/10.1093/jncics/pkaa027).
26. Sabarinathan R, Tafer H, Seemann SE, et al. RNAsnp: efficient detection of local RNA secondary structure changes induced by SNPs. *Hum Mutat* 2013; 34(4): 546-56. doi: [10.1002/humu.22273](https://doi.org/10.1002/humu.22273).

Original Article

# The Association of *MLH1* Gene (rs63749795 C>T) Polymorphism with Breast Cancer Susceptibility in the Northwest of Iran

S. Malekzadeh (MSC)<sup>1\*</sup>, S. Ghaffarian (PhD)<sup>1\*\*</sup>

<sup>1</sup> Department of Cellular and Molecular Biology, Scholl of Sciences, Azarbaijan Shahid Madani University, Tabriz, Iran

(Received 29 Nov, 2023

Accepted 14 Jan, 2024)

*Abstract*

**Background:** The MisMatch Repair (MMR) system is a conserved system with a key role in genetic stability and replication integrity. The *MLH1* gene is one of the four main components of the MMR complex. This study was conducted to assess the association of *MLH1* (rs63749795 C>T) gene polymorphism with the risk of breast cancer among women in the northwest of Iran.

**Materials and Methods:** A case-control study was conducted on 100 women with breast cancer and 100 healthy controls with no family history of cancer. The association of single-nucleotide polymorphism of *MLH1* (rs63749795 C>T) was examined by Tetra-ARMS-PCR assay and the resultant data were analyzed in SPSS software, version 24. Single-nucleotide polymorphism association with clinical symptoms was examined in the patients.

**Results:** CC genotype was not observed in the patient and control groups. The frequency of TC and TT genotypes was 40% and 60% in the case group, and 41.84% and 58.16% in the control group. The frequency of C and T alleles was 20% and 80% in the case group, and 20.91% and 79.09% in the control group. The statistical analysis of the data showed no association between genotypic and allelic distribution and breast cancer in northwestern Iran. The results also showed no significant association between clinical characteristics and breast cancer.

**Conclusion:** The findings of this research showed that there is no significant relationship between the genotypic and allelic distribution of the rs63749795 C>T polymorphism of *MLH1* gene and the increased risk of breast cancer or clinical characteristics of the studied patients in northwest Iran.

**Keywords:** Single-Nucleotide Polymorphism, Breast Cancer, *MLH1* Gene, Tetra ARMS-PCR

©Iran South Med J. All rights reserved

*Cite this article as: Malekzadeh S, Ghaffarian S. The Association of *MLH1* Gene (rs63749795 C>T) Polymorphism with Breast Cancer Susceptibility in the Northwest of Iran. Iran South Med J 2023; 26(3): 155-166*

\*\*Address for correspondence: Department of Cellular and Molecular Biology, Scholl of Sciences, Azarbaijan Shahid Madani University, Tabriz, Iran.

Email: s.ghaffarian@azruniv.ac.ir

\*ORCID: 0009-0008-2002-7426

\*\*ORCID: 0000-0003-0385-8638

Website: <http://bpums.ac.ir>

Journal Address: <http://ismj.bpums.ac.ir>